

九産大 学生員 ○ 大前義行 阿部仁一
全 正会員 青柳茂敏 崎山正常

1. よえがき 本報では河口貯水池底面下に滞留する塩水を汲み上げ、淡塩界面を地盤深部に形成させることによって貯水池内淡水と塩水との混合を防止しようとの意図のもとに図-1のよう群井戸の問題を取り扱う。

2. 解析 まず群井戸の解の基礎となる單一井戸の解を求めよう。Dupuitの準一様流の仮定を適用する。図-2の流れの場において任意の点の圧力水頭をX軸を基準に以て A とし、流れの場の圧力分布は静水圧分布であるとすれば塩水の単位重量を γ_s 、淡水のそれを γ_f として

$$\rho = \gamma_0 (A - y)$$

$$= \gamma_0 (D_1 + D_2 - y_s) + \gamma_s (y_s - y) \quad \dots \dots \dots (1)$$

すなわち

$$A = \left(\frac{1}{1+\epsilon} \right) (D_1 + D_2) + \left(\frac{\epsilon}{1+\epsilon} \right) y_s \quad \dots \dots \dots (2)$$

よって、井戸への流速 u は

$$u = k \frac{dA}{dx} = k \left(\frac{\epsilon}{1+\epsilon} \right) \frac{dy_s}{dx} \quad \dots \dots \dots (3)$$

であらわされ、塩水汲み上げ量 Q は

$$Q = 2\pi X y_s \cdot k \left(\frac{\epsilon}{1+\epsilon} \right) \frac{dy_s}{dx} \quad \dots \dots \dots (4)$$

積分して

$$\frac{Q}{2\pi k \left(\frac{\epsilon}{1+\epsilon} \right)} \ln |x| = y_s^2 + \text{const} \quad \dots \dots \dots (5)$$

がえられる。また、速度ポテンシャル ψ は

$$\psi = k \left(\frac{y_s}{y_0} + y \right) \quad \dots \dots \dots (6)$$

$$\psi_{BC} = k (D_1 + D_2 - A_2) \quad \dots \dots \dots (7)$$

また、海側から浸透する塩水のエネルギー損失を堤体中央の矢板直下の面 BC までは無視できるとする、この境界の ψ は式(6)より

$$\psi_{BC} = k (D_1 + D_2 - A_2 + A_1) \quad \dots \dots \dots (8)$$

次に、淡塩界面における圧力は

$$\rho_s = \gamma_0 (D_1 + D_2 - y_s) \quad \dots \dots \dots (9)$$

であるから、これを式(6)に適用すると

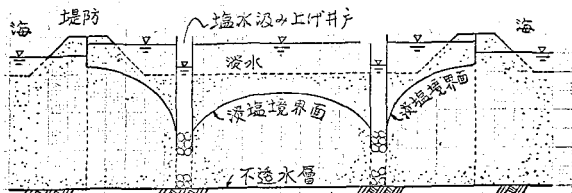


図-1 塩水汲み上げ機構の略図

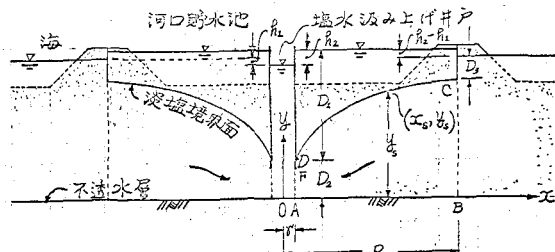
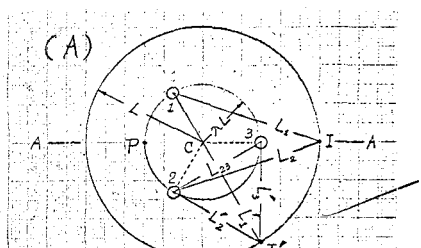


図-2 単一井戸による塩水汲み上げ



r は式(2)・(3)・(11)の X_1 と同様に無次元の半径である。

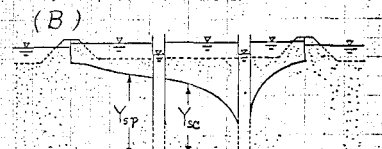


図-3 正三角形配置

$$\Xi_s = R \left(\frac{1}{1+E} \right) (D_1 + D_2) + R \left(\frac{E}{1+E} \right) y_s \dots \dots \dots \dots \dots \dots \quad (10)$$

三二二

$$\varphi = \frac{\Phi - k(D_1 + D_2 - A_2)}{k A_1} \quad \dots \dots \dots \quad (11)$$

なる無次元化を行なうと淡塩境界面での ψ 、すなはち φ_s は

$$\frac{g_5}{g_1} = \frac{f_1}{f_1} - \left(\frac{\varepsilon}{1+\varepsilon} \right) \left(\frac{D_1 + D_2}{f_1} \right) + \left(\frac{\varepsilon}{1+\varepsilon} \right) \frac{y_5}{f_1} \quad \dots \dots \dots \quad (12)$$

となる。上式に莫 D の φ_s すなわち D_2 を適用すると、
莫 D における φ_s すなわち D_0 は

$$\varphi_0 = \frac{A_2}{A_1} - \left(\frac{\epsilon}{1+\epsilon} \right) \frac{D_2}{A_1} \quad \dots \dots \dots \quad (13)$$

これを用いて式(12)を書きかえると

$$\left(\frac{E}{1+E}\right) \frac{\bar{f}_S}{f_1} = (\varphi_s - \varphi_o) + \left(\frac{E}{1+E}\right) \frac{D_2}{f_1} \dots \dots \dots \quad (14)$$

$$X = \frac{x - l}{BC} , \quad Y = \frac{y}{BC} \dots \dots \dots (15)$$

なる無次元化を行なうと、淡塩境界面の Y_s すなわち Y_{s1} は

$$Y_s = \frac{\frac{g_s}{BC}}{\left(\frac{E}{1+E}\right)\frac{BC}{A_1}} = \frac{(P_s - P_0) + \left(\frac{E}{1+E}\right)\frac{D_2}{A_1}}{\left(\frac{E}{1+E}\right)\frac{BC}{A_1}} \quad \dots \dots \dots (16)$$

となる。ここで図-2より

であるが、表 C における圧力条件より

すなわち

$$D_3 = \frac{1}{\varepsilon} (D_1 + D_2) \dots \dots \dots \dots \dots \dots \quad (9)$$

これを式(17)に適用し、さらに式(13)の関係を用いれば

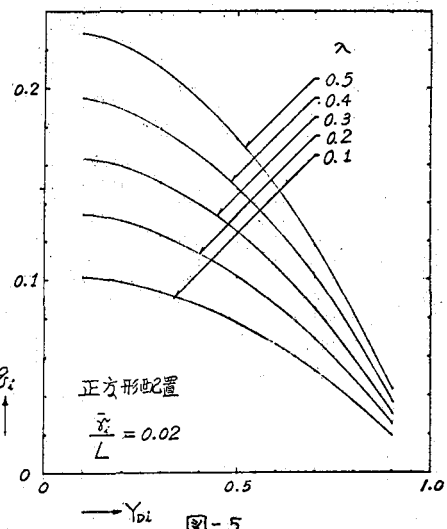
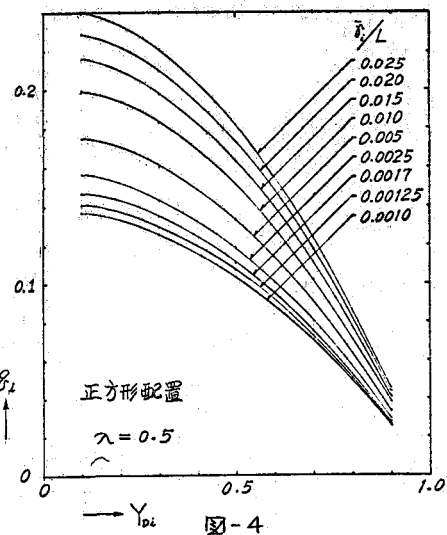
式(16)は

$$Y_s = \frac{(\varphi_s - \varphi_d) + \left(\frac{\varepsilon}{1+\varepsilon} \right) D_s}{(1 - \varphi_d) + \left(\frac{\varepsilon}{1+\varepsilon} \right) D_d} \quad \dots \dots \dots \quad (20)$$

となる。したがって実Dの Y_s を Y_0 とするとここでは $P_s = P_0$ であるから

$$Y_D = \frac{\left(\frac{E}{1+E}\right) \frac{D_2}{A_1}}{(1 - p_D) + \left(\frac{E}{1+E}\right) \frac{D_2}{A_1}} \quad \dots \dots \dots (21)$$

D_2/R_1 が定まるが、図-2に示す実効を決定する所要の式は理論的には誘導されない。そこで実用的には η_0 は0付近の値であり、いま η_0 を0.01～0.1程度の値にえらんだ場合に $\eta_0 = 2 \cdot \eta_0$ とえらべば、これに対応する Y_3 すなわち $Y_3 \eta_0=2\eta_0$ は式(20)より



$$Y_{s_{g_1=2g}} = \frac{g_0 + \left(\frac{\varepsilon}{1+\varepsilon}\right) \frac{D_0}{R_1}}{(1-g_0) + \left(\frac{\varepsilon}{1+\varepsilon}\right) \frac{D_0}{R_1}} \approx Y_0 \quad \dots \dots \dots (22)$$

となる。そこで、奥D付近のボテンシャルの低下はほぼ流線長に比例すると仮定すると

$$Y_0 - Y_F \approx Y_{s_{g_1=2g}} - Y_0 = \frac{g_0}{(1-g_0) + \left(\frac{\varepsilon}{1+\varepsilon}\right) \frac{D_0}{R_1}} \quad \dots \dots \dots (23)$$

がえられ、奥Fを定めることができ。さて、式(14)および式(20)を参考して円形と仮定された河口貯水池と同心円周上に正多角形に配置された各井戸の諸元は同じとして

$$\delta = \left\{ Q \left[\pi R \left(\frac{\varepsilon}{1+\varepsilon} R_i^2 \right) \right] \right\} / \left\{ (1-g_0) + \left(\frac{\varepsilon}{1+\varepsilon}\right) \frac{D_0}{R_1} \right\}^2 \quad \dots \dots \dots (24)$$

$$X_i = \left(\frac{\varepsilon}{1+\varepsilon} \right) \frac{\sqrt{(x-x_i)^2 + (z-z_i)^2}}{R_1} / \left\{ (1-g_0) + \left(\frac{\varepsilon}{1+\varepsilon}\right) \frac{D_0}{R_1} \right\} \quad \dots \dots \dots (25)$$

$$\bar{x}_i = \left(\frac{\varepsilon}{1+\varepsilon} \right) \frac{x_i}{R_1} / \left\{ (1-g_0) + \left(\frac{\varepsilon}{1+\varepsilon}\right) \frac{D_0}{R_1} \right\} \quad \dots \dots \dots (26)$$

$$Y_s = \left(\frac{\varepsilon}{1+\varepsilon} \right) \frac{y_i}{R_1} / \left\{ (1-g_0) + \left(\frac{\varepsilon}{1+\varepsilon}\right) \frac{D_0}{R_1} \right\} \quad \dots \dots \dots (27)$$

で3無次元式を導入し、井戸の総数をnとするとき、基本式(5)の重ね合わせにより

$$Y_s^2 = \sum_{i=1}^n g \cdot \ln \left(|X_i| / \bar{x}_i \right) + \text{const} \quad \dots \dots \dots (28)$$

がえられる。¹⁾境界条件は $|X_i|=L_i$ において $Y_s=1$ であるとする

$$\text{const} = 1 - \sum_{i=1}^n g \cdot \ln \left(L_i / \bar{x}_i \right) \quad \dots \dots \dots (29)$$

また、各井戸の側面において $Y_s=Y_0$ であるとする

$$\text{const} = Y_0^2 - \sum_{i=1}^n g \cdot \ln \left((L_i - \bar{x}_i) / \bar{x}_i \right) \quad \dots \dots \dots (30)$$

ここに L_i はj番目の井戸の中心からj番目の井戸の中心までの距離であるから \sum の演算では $i=j$ の場合には値まわらない。式(28)および式(30)よりconstを消去すると塩水汲み上げ量の算定式

$$\sum_{i=1}^n g \cdot \ln \frac{L_i}{\bar{x}_i} - \sum_{i=1}^n g \cdot \ln \frac{L_i - \bar{x}_i}{\bar{x}_i} = 1 - Y_0^2 \quad \dots \dots \dots (31)$$

が求まり、また、式(28)および式(29)よりconstを消去すると淡塩界面の式

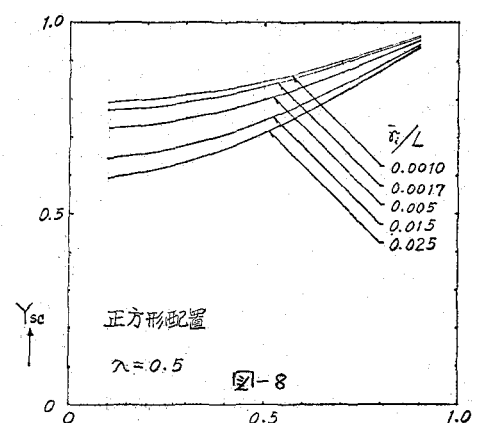
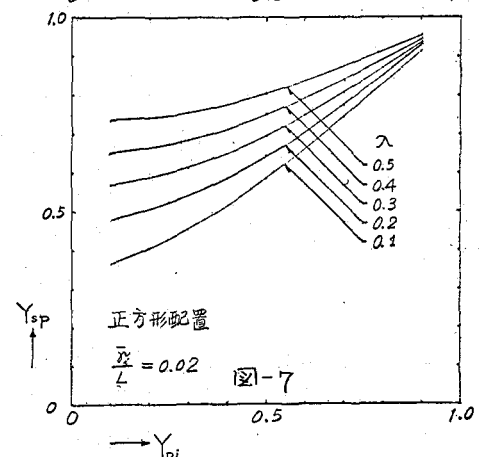
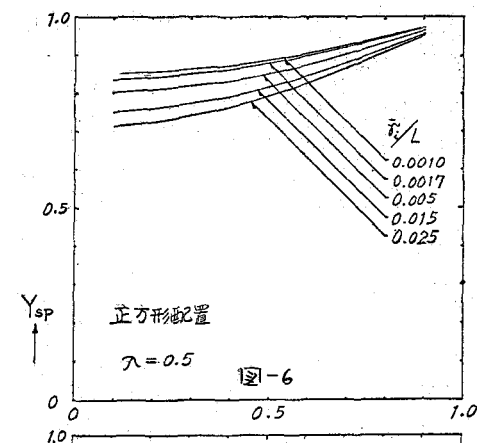
$$Y_s^2 = 1 - \sum_{i=1}^n g \cdot \ln \frac{L_i}{|X_i|} \quad \dots \dots \dots (32)$$

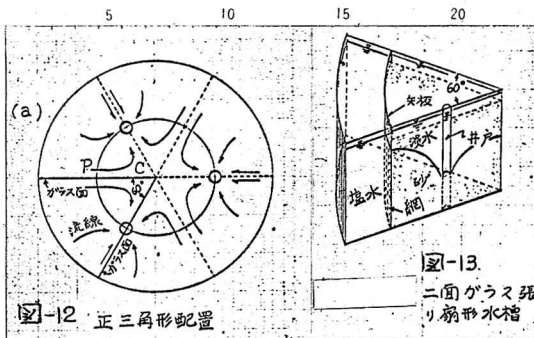
が求まる。ここで、式(27)の説明の過程で必要である L_i は図-3(A)に示す奥IおよびI'のようにその起

来をかえヨヒ一般には異なる値となりて普遍的ではないが、これが水理諸量に与える影響は小さい。

たとえば図-3(A)のような正三角形配置の場合の揚水量は式(31)により

$$g = \left[1 - Y_0^2 \right] / \left[\ln \frac{L_1 + L_2 + L_3}{\bar{x}_1 + \bar{x}_2 + \bar{x}_3} - \ln \left\{ \frac{(L_1 - \bar{x}_1)(L_2 - \bar{x}_2)}{\bar{x}_1 + \bar{x}_2} \right\} \right] \dots \dots \dots (33)$$





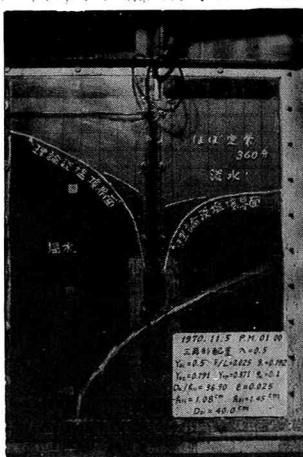
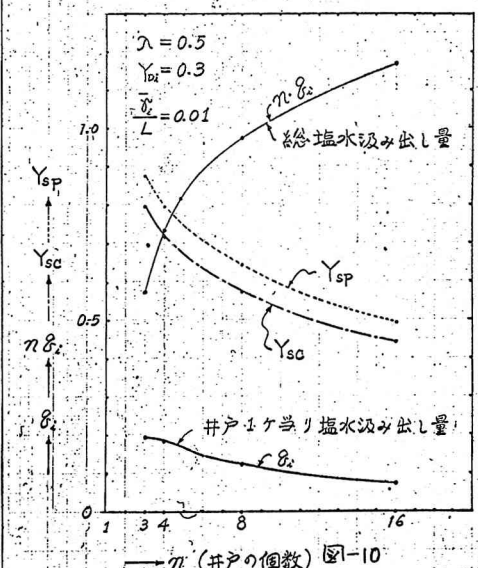
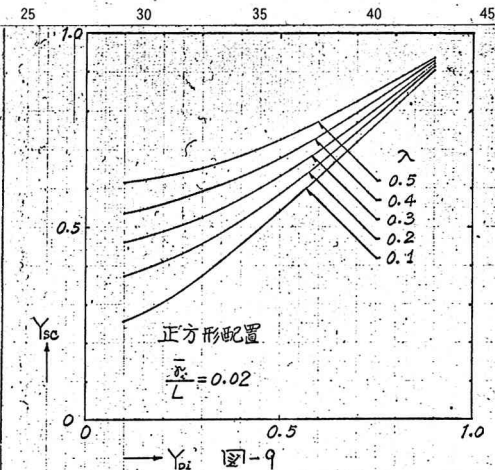
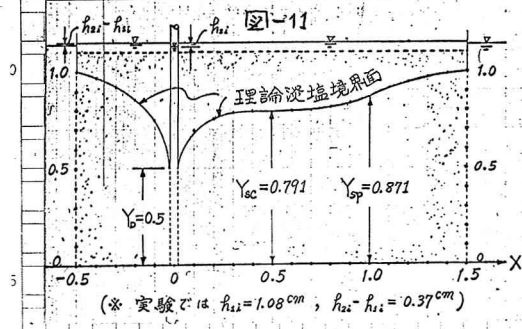
となり、また

$$\left. \begin{aligned} L_1' L_2' L_3' &= (1 - \lambda^3) L^3, \quad L_1' L_2' L_3' = (1 + \lambda^3) L^3 \\ L_{21} &= L_{31} = \sqrt{3} \pi L \end{aligned} \right\} \dots \dots \quad (34)$$

ところが、 $\lambda=0.5$ 、 $\bar{r}/L=0.025$ のとき実Iと実I'に L_i の起算をえらんだ場合の式(33)の分母の差は7%弱である。井戸の总数が九個の場合には、次に相当する分母の差は $|\ln(\frac{1-\lambda^n}{1+\lambda^n})|$ 、($\lambda < 1$) となり L_i の起算となる実Iはnが大きい程、また入が小さい程左半径とする円周上どこにえらんでも求める水理諸量にはほとんど影響しないといふことができる。

3. 数値計算および実験 以上の解析結果を検討するため、入、 Y_0 および下/Lの無次元三変数に種々値を与え、これらの組合せに対して図-3(A)のように正三角形、正方形、正八角形および正十六角形の頂点に配置された群井戸について図-4～図-12に示すような主要水理量を検討した。なお実験は正三角形配置のものに相当する流れについて図-13に示すような中心角60°の扇形水槽で行なった。その結果は理論淡塩境界面とともに図-11に記入している。

なお、これらについては講演時に詳述する。



参考文献